

УДК 532.546

# ИССЛЕДОВАНИЕ ПРОХОЖДЕНИЯ ВОЛНОВОГО ИМПУЛЬСА ИЗ ГАЗА В НАСЫЩЕННУЮ ПОРИСТУЮ СРЕДУ

*И. Г. Хусаинов, В. Л. Дмитриев*

Стерлитамакская государственная педагогическая академия, Стерлитамак

**Аннотация.** Изучается отражение волнового импульса от границы газ — пористая среда. Рассмотрены случаи «открытой» и «закрытой» границ пористой среды. Исследована зависимость коэффициента отражения падающего импульса от размеров пор и учета межфазного теплообмена.

**Ключевые слова:** ударная волна, волновой импульс, пористая перегородка, коэффициент отражения, коэффициент прохождения, граница пористой среды

---

## 1. Введение

Исследование результатов прохождения ударных волн сквозь пористые перегородки, а также их воздействия на преграды, покрытые пористым слоем, представляет значительный научный и практический интерес. Явления отражения и преломления акустических волн на границах сред интенсивно используется в сейсмологии, подводной акустике и неразрушающем контроле. Наиболее полное представление о процессе дает анализ аналитических выражений для коэффициентов отражения и преломления.

## 2. Постановка задачи

Пусть волновой импульс, распространяясь по газу, падает нормально на плоскую поверхность пористой среды, насыщенной таким же газом. Толщина пористой среды (перегородки) равна  $l$ , а два других ее измерения —

высоту и ширину — будем считать достаточно большими, чтобы пренебречь краевыми эффектами. Поверхность перегородки, на которую падает начальный импульс, будем считать первой границей, а параллельную ей и расположенную на расстоянии  $l$  — второй границей. В работе рассматриваются два различных случая, определяемые характером первой и второй границ:

а) «открытая» граница (в этом случае газ, содержащийся в порах, расположенных непосредственно на границе, соприкасается со свободным газом, окружающим пористую среду);

б) «закрытая» граница (на границе между пористой средой и свободным газом находится тонкая неподатливая мембрана нулевой массы).

Когда волновой импульс падает на первую границу, часть импульса отражается от границы, а другая часть — проходит в пористую среду. Как известно [1], для исследования отражения волнового импульса от границы и прохождения через нее применяют метод Фурье. Согласно этому методу падающий волновой импульс разлагается в суперпозицию гармонических плоских волн разных частот, которые отражаются от границы и проходят через нее без изменения формы, но, вообще, с разными коэффициентами отражения и прохождения. Суперпозиция отраженных (прошедших) гармонических волн и дает результирующий отраженный (прошедший) импульс. Чтобы получить суперпозицию отраженных (прошедших) гармонических волн, нужно знать коэффициент отражения (прохождения) каждого спектра импульса. Коэффициент отражения зависит не только от частоты волны, но и от свойств первой и второй сред, а также от волнового числа, и находится из граничных условий.

Волновое число, соответствующее определенной частоте, вычисляется из дисперсионной зависимости. В работе использовалась дисперсионная зависимость, полученная в [2] для случая распространения линейных волн в насыщенных газом пористых средах с учетом межфазного теплообмена.

Найдем коэффициент отражения от границы «газ—пористая среда» для гармонических волн. Пусть гармоническая плоская волна падает нормально на первую границу ( $x = 0$ ). Тогда движение в левой части от пористой среды ( $x < 0$ ) является наложением двух волн — падающей и отраженной, давление и скорость которых определяются по формулам:

$$p_e^{(0)} = A_{p_e}^{(0)} \exp[i \cdot (K_e x - \omega \cdot t)], \quad v_e^{(0)} = A_{v_e}^{(0)} \exp[i \cdot (K_e x - \omega \cdot t)],$$

$$p_e^{(r)} = N A_{p_e}^{(0)} \exp[i \cdot (-K_e x - \omega \cdot t)],$$

$$v_e^{(r)} = -N A_{v_e}^{(0)} \exp[i \cdot (-K_e x - \omega \cdot t)],$$

где  $K_e$  — волновое число для внешней однородной среды;  $N$  — коэффициент отражения волны. Нижний индекс ( $e$ ) будем относить к параметрам

внешней однородной среды. Амплитуды давления  $A_{p_e}^{(0)}$  и скорости  $A_{v_e}^{(0)}$  падающей гармонической волны в однородной среде связаны соотношениями:

$$A_{p_e}^{(0)} = \rho_{e0}^0 C_e A_{v_e}^{(0)}.$$

Здесь  $\rho_{e0}^0$  — плотность внешней однородной среды;  $C_e$  — скорость распространения волны во внешней среде.

Известно [3], что в пористой среде, насыщенной жидкостью или газом, могут распространяться два типа продольных волн: «быстрая» и «медленная». Таким образом, при падении волны из газа на границу с пористой средой могут возникать три волны: в однородной среде — отраженная, а в пористой среде прошедшая волна делится на две: «быструю» и «медленную».

На границе  $x = 0$  должны выполняться следующие условия [4]:

1) «открытая» граница:

а) силы, действующие на единицу площади границы, слева и справа равны, то есть суммарные напряжения слева и справа равны

$$p_e = -\sigma_* + p_g; \quad (1)$$

б) непрерывность давления в газе

$$p_e = p_g; \quad (2)$$

в) непрерывность нормальной компоненты скорости к поверхности раздела, усредненной по объему

$$v_e = \alpha_{g0} v_g + \alpha_{s0} v_s; \quad (3)$$

2) «закрытая» граница:

а) силы, действующие на единицу площади границы, слева и справа равны, то есть суммарные напряжения слева и справа равны

$$p_e = -\sigma_* + p_g; \quad (4)$$

б) скорости свободной газовой фазы и скелета равны

$$v_e = v_s; \quad (5)$$

в) скорости свободной газовой фазы и газа в порах равны

$$v_e = v_g. \quad (6)$$

Здесь  $p_e = p_e^{(0)} + p_e^{(r)}$ ,  $v_e = v_e^{(0)} + v_e^{(r)}$  — результирующие возмущение давления и скорость частиц на границе со стороны однородной среды.

Результирующие возмущения эффективного напряжения в скелете и давления в газовой фазе определяются по формулам:

$$\sigma_* = [A_{\sigma_a} \exp(iK_a x) + A_{\sigma_b} \exp(iK_b x)] \exp(-i\omega t),$$

$$p_g = [A_{p_a} \exp(iK_a x) + A_{p_b} \exp(iK_b x)] \exp(-i\omega t).$$

Нижние индексы (a) и (b) относятся соответственно к параметрам «быстрой» и «медленной» волн.  $A_{\sigma_a}$ ,  $A_{p_a}$  и  $A_{\sigma_b}$ ,  $A_{p_b}$  — амплитуды «быстрой» и «медленной» волн, распространяющихся по скелету и по газовой фазе,  $K_a$  и  $K_b$  — волновые числа для «быстрой» и «медленной» волн. Дисперсионные зависимости  $K_a = K_a(\omega)$  и  $K_b = K_b(\omega)$  для насыщенной газом пористой среды получены в [2]:

$$K = \frac{\omega}{C_g \sqrt{2}} \sqrt{B_1 + B_2 \tilde{C}^2 \pm \sqrt{(B_1 + B_2 \tilde{C}^2)^2 - 4B_3 \tilde{C}^2}}, \quad (7)$$

$$B_1 = (1 + \chi_T)(1 + i\chi_V \alpha_{s0}), \quad B_2 = (1 + \beta(\alpha_{s0} + i\chi_V)/\alpha_{g0})/\chi_\mu,$$

$$B_3 = (1 + \chi_T)(1 + i\chi_V(\alpha_{s0} + \beta\alpha_{g0}))/\chi_\mu,$$

$$\tilde{C} = C_g/C_s, \quad \beta = \rho_{g0}^0/\rho_{s0}^0, \quad \chi_\mu = \alpha_{s0}(1 - i\omega\mu_s/E_s).$$

Здесь  $\alpha_{s0}$  и  $\alpha_{g0}$  — начальные объемные содержания твердой и газовой фаз;  $\rho_{g0}^0$  и  $\rho_{s0}^0$  — начальные значения плотности газовой фазы и скелета;  $E_s$  и  $\mu_s$  — модуль упругости и коэффициент динамической вязкости пористого скелета. Скорости волны в газовой фазе  $C_g$  и в скелете  $C_s$  определяются по формулам  $C_g = \sqrt{\gamma p_0/\rho_{g0}^0}$  и  $C_s = \sqrt{E_s/\rho_{s0}^0}$ . Коэффициенты  $\chi_V$  и  $\chi_T$  получены в [2] и учитывают влияние, соответственно, нестационарных сил межфазного взаимодействия и теплообмена между скелетом и газом, насыщающим поры среды, на динамику «быстрой» и «медленной» волн, распространяющихся в пористой среде.

Из граничных условий (1)–(6) и системы макроскопических линеаризованных уравнений массы для скелета пористой среды и газа в порах, уравнений импульсов и уравнения состояния [2] получим коэффициенты отражения и прохождения

для «открытой» границы:

$$N_{op} = \frac{\lambda_1 - \lambda_2}{\lambda_1 + \lambda_2}, \quad M_{op} = 1 + N_{op}, \quad (8)$$

$$\lambda_1 = B_b - B_a\varphi, \quad \lambda_2 = \rho_e C_e [\alpha_{g0}(G_b - G_a\varphi) + \alpha_{s0}(1 - \varphi)],$$

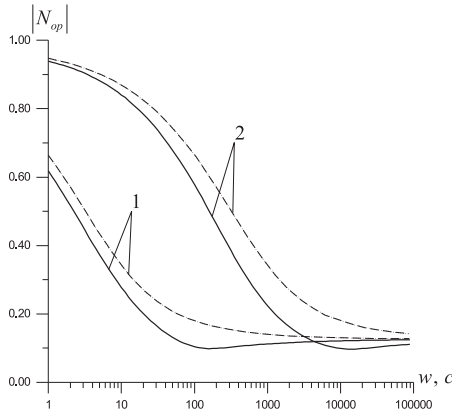


Рис. 1. Коэффициент отражения от открытой границы «газ–пористая среда»

для «закрытой» границы:

$$N_{cl} = \frac{\xi_1 + \xi_2}{\xi_1 - \xi_2}, \quad M_{cl} = 1 + N_{cl}, \quad (9)$$

$$\xi_1 = (D_a - B_a)(1 - G_b)/(G_a - 1) + D_b - B_b,$$

$$\xi_2 = \rho_e C_e [(1 - G_b)/(G_a - 1) + 1],$$

$$G_{a,b} = \frac{1 + i\beta\chi_v - C_s^2 \phi_{a,b}^2 \chi_\mu}{\beta(1 + i\chi_v)}, \quad D_{a,b} = -E_s \chi_\mu \phi_{a,b}, \quad \varphi = D_b/D_a,$$

$$B_{a,b} = [\rho_{g0}^0 \alpha_{g0} G_{a,b} + \alpha_{s0} \rho_{s0}^0 - E_s \chi_\mu \phi_{a,b}^2] / \phi_{a,b}, \quad \phi_{a,b} = K_{a,b}/\omega.$$

Аналогичные формулы получены для границы «жидкость–пористая среда». Для численного расчета параметры фаз взяты при температуре среды 300 К и давлении  $p_0 = 10^5$  Па. Для резины:  $\lambda_s = 0.15$  Дж/(м·с·К),  $c_s = 1571$  Дж/(кг·К),  $\rho_{s0}^0 = 920$  кг/м<sup>3</sup>,  $E_s = 10^8$  Па,  $\mu_s = 10^2$  Па·с; для воздуха:  $\lambda_g = 0.027$  Дж/(м·с·К),  $c_g = 1006$  Дж/(кг·К),  $\rho_{g0}^0 = 1.17$  кг/м<sup>3</sup>,  $\mu_g = 1.86 \cdot 10^{-5}$  Па·с,  $\gamma = 1.4$ ; для воды:  $\rho_{l0}^0 = 10^3$  кг/м<sup>3</sup>,  $\mu_l = 10^{-3}$  Па·с,  $C_l = 1500$  м/с.

На Рис. 1 приведена зависимость коэффициента отражения для «открытой» границы от частоты для случая «газ–пористая среда».

Штриховые линии получены с учетом межфазного теплообмена, а жирные — без учета. Линии 1 соответствуют радиусу пор  $a_0 = 10^{-3}$  м, а линии 2 —  $a_0 = 10^{-4}$  м. Из рисунка видно, что для мелкодисперсных пор отражение сильнее. Уменьшение радиуса пор в 10 раз приводит примерно

к двукратному увеличению коэффициента отражения, но с увеличением частоты эта разница исчезает, и при  $\omega \geq 5000 \text{ с}^{-1}$  коэффициент отражения почти не зависит от радиуса пор. Учет межфазного теплообмена приводит к увеличению коэффициента отражения примерно на 10–30%.

В случае «закрытой» границы волна, падающая из газа в пористую среду, отражается как от жесткой стенки, а волна, падающая из воды в пористую среду, отражается как от мягкой стенки. Коэффициент отражения в случае «закрытой» границы слабо зависит от радиуса пор.

На основе полученных выражений для коэффициентов отражения и прохождения гармонических плоских волн рассмотрена эволюция волн конечной длительности при прохождении через пористую среду. В работе использовался импульс давления, который имеет колоколообразную форму и описывается выражением  $p^{(0)}(0, t) = \Delta p_0 \exp\left(-\left(\frac{t-t_m}{t_*/2}\right)^2\right)$ . Здесь  $t_*$  и  $t_m$  определяют характерную протяженность импульса и момент времени, на который приходится максимум амплитуды первоначального импульса;  $p^{(0)}(0, t)$  — осциллограмма давления для падающей волны.

### 3. Заключение

Показано, что уменьшение радиуса пор в случае «открытой» границы приводит на низких частотах к увеличению коэффициента отражения. Результаты численной реализации, полученные с использованием метода быстрого преобразования Фурье, показали, что учет межфазного теплообмена приводит к дополнительному затуханию импульса примерно на 20%.

### Список литературы

- [1] Исакович М. А. Общая акустика. М.: Наука, 1973. 496 с.
- [2] Шагапов В. Ш., Хусаинов И. Г., Дмитриев В. Л. Распространение линейных волн в насыщенных газом пористых средах с учетом межфазного теплообмена // ПМТФ. 2004. Т. 45, №4. С. 114–120.
- [3] Biot M. A. Theory of propagation of elastic waves in a fluid-saturated porous solid. II. Higher-frequency range // The Journal of the Acoustical Society of America. 1956. V. 28, № 2. P. 179–191.
- [4] Deresiewicz By. H., Skalak. R. On uniqueness in dynamic poroelasticity // Bulletin of the seismological society of America. 1963. V. 53, № 4. P. 783–788.